

©1995 г.

ОТЖИГ ЦЕНТРОВ ЗЕЛЕНОЙ ЛЮМИНЕСЦЕНЦИИ СУЛЬФИДА КАДМИЯ

Н. С. Богданюк, Г. Е. Давидюк, А. П. Шаварова

Волынский государственный университет им. Леси Украинки,
263009, Луцк, Украина
(Получена 23 февраля 1994 г. Принята к печати 25 марта 1994 г.)

Электронное облучение высокоомных, специально не легированных монокристаллов CdS (при 290 K) с энергией электронов $e = 1.2$ МэВ и дозой $\Phi = 2.4 \times 10^{17} \text{ см}^{-2}$ ведет к увеличению (в 5–7 раз) интенсивности зеленой люминесценции с максимумом излучения при $\lambda_m = 514 \text{ нм}$ ($T = 77 \text{ K}$). При отжиге облученных образцов ($t_{\text{анн}} > 100^\circ\text{C}$) происходит трансформация изотропных центров зеленой люминесценции в термостабильные анизотропные центры зеленой люминесценции с максимумом излучения при $\lambda_m = 522 \text{ нм}$. Вместе с трансформацией центров зеленой люминесценции при $t_{\text{анн}} > 120^\circ\text{C}$ образуются центры новой люминесценции с $\lambda_m = 537 \text{ нм}$, которая достигает максимальной интенсивности при $t_{\text{анн}} = 150^\circ\text{C}$ и полностью отжигается при $t_{\text{анн}} = 200–220^\circ\text{C}$. Исследовалось влияние электронной радиации на центры зеленой люминесценции в низкоомных монокристаллах CdS:Cd. На основании результатов исследований предлагается модель центров зеленой люминесценции в монокристаллах CdS:Cd и в облученных электронами и отожженных образцах CdS. За центры зеленой люминесценции с $\lambda_m = 522–524 \text{ нм}$ отвечает тример, в состав которого входит пара Френкеля в подрешетке серы монокристалла CdS и межузельный атом кадмия.

Образованию центров люминесценции в монокристаллах CdS при электронном облучении посвящен целый ряд работ, например [1, 2]. Но в этих работах не уделялось внимания изучению отжига радиационных дефектов, ответственных за центры люминесценции.

В настоящей работе исследовалось влияние облучения электронами на краевую зеленую люминесценцию монокристаллов CdS и CdS:Cd, а также отжиг и преобразование дефектов, ответственных за эту люминесценцию. Используемые в работе специально не легированные высокоомные монокристаллы CdS выращивались из расплава под давлением инертного газа. Для улучшения стехиометрического состава и снятия ростовых напряжений выращенные кристаллы термохимически обрабатывались в парах серы. Использовались также низкоомные монокристаллы CdS:Cd, выращенные при повышенном давлении паров кадмия.

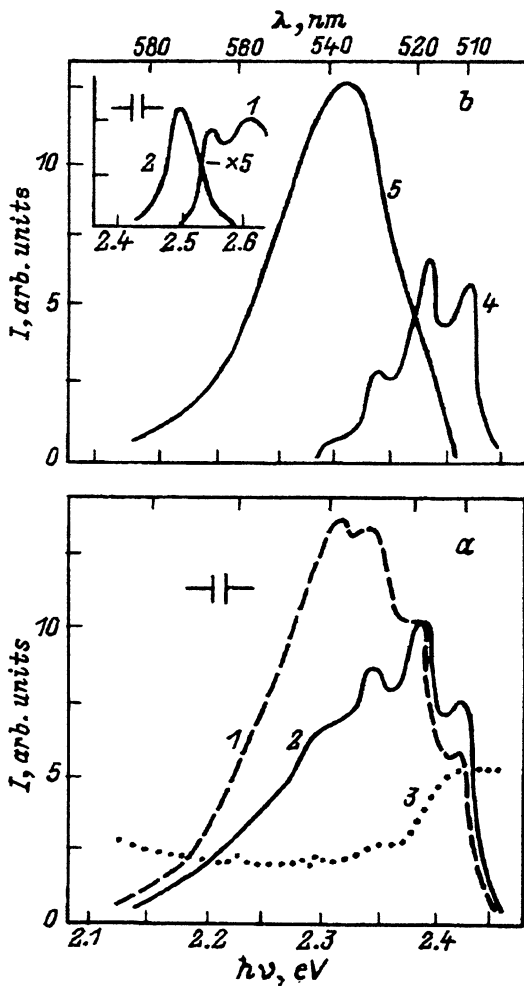


Рис. 1. а — спектры люминесценции монокристаллов CdS ($T = 77$ К), облученных электронами с $E = 1.2$ МэВ и дозой $\Phi = 2 \cdot 10^{17}$ см $^{-2}$ после отжига при 150 (1) и 175°C (2). 3 — результат анализа спектров 1 и 2 методом Аленцева–Фока. б — результат разложения спектра 1 на составляющие полосы 4 и 5. На вставке — спектры возбуждения зеленой люминесценции до (1) и после отжига (2) образца при 220°C .

Облучение образцов осуществлялось на линейном ускорителе с энергией электронов $E = 1.2$ МэВ при температурах, которые не превышали 273 – 290 К.

В исследуемых высокоомных монокристаллах CdS как до, так и после облучения наблюдалась (при 77 К) обычная полоса зеленой люминесценции с максимумом интенсивности при $\lambda_m = 514$ нм и четкими фоновыми повторениями, подобная той, которая описана для изолирующих кристаллов в [3]. Люминесценция возбуждалась только в области зона–зонных переходов, хотя спектр возбуждения имел сложную структуру (рис. 1, б; см. вставку, кривая 1).

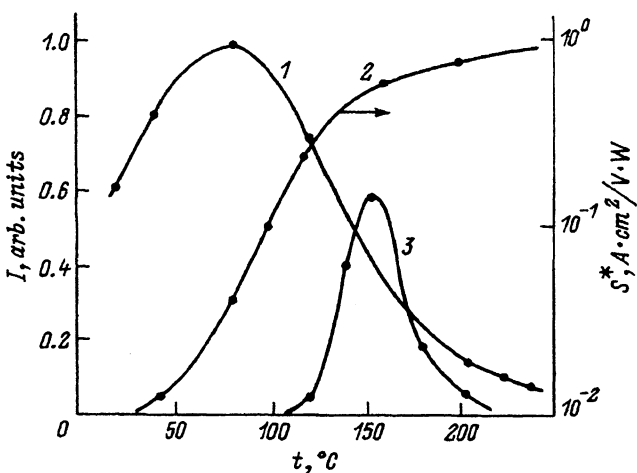


Рис. 2. Изохронный отжиг интенсивности бесфононного максимума зеленой люминесценции, которому соответствует $\lambda_m = 514$ нм (1), фоточувствительности (2), интенсивности люминесценции с $\lambda_m = 537$ нм (3) в облученных электронами с $E = 1.2$ МэВ и дозой $\Phi = 2.4 \cdot 10^{17}$ см $^{-2}$ монокристаллах CdS.

Облучение электронами, не изменяя формы спектров люминесценции и спектров возбуждения, вело к увеличению интенсивности зеленой люминесценции в 5–7 раз при дозе облучения $\Phi = 2 \cdot 10^{17}$ см $^{-2}$. Эти результаты свидетельствуют об образовании при облучении центров зеленой люминесценции, тождественных тем, которые существуют в необлученных образцах. Такими центрами могут быть точечные дефекты или распределенные ДА пары. Большинство авторов [3–7] считают ответственными за центры зеленой люминесценции так называемые «зеленые» акцепторы или ДА пары. Роль акцепторов в этих дефектах играют межузельные атомы серы (S_i) с $E = E_v + (0.14 \div 0.17)$ эВ, а роль донора могут играть различные примеси с мелкими энергетическими уровнями.

На рис. 2 представлены результаты изохронного отжига интенсивности бесфононного аксимума зеленой люминесценции, которому соответствует $\lambda_m = 514$ нм (1), фоточувствительности (2) и интенсивности люминесценции с $\lambda_m = 537$ нм (3) в облученных электронами $E = 1.2$ МэВ, $\Phi = 2.4 \cdot 10^{17}$ см $^{-2}$ монокристаллах CdS. Время отжига при каждой температуре составляло 15 мин. Интенсивности люминесценций и фоточувствительность отожженных образцов измерялись при $T = 77$ К. Как видно из рис. 2 (кривая 1), при температурах отжига до $t_{\text{анн}} = 80$ °С происходит увеличение интенсивности зеленой люминесценции без изменения формы спектров излучения и возбуждения. Это можно объяснить отжигом быстрых безызлучательных центров рекомбинации, которые также образуются при электронном облучении. Такой вывод подтверждается тем, что при отжиге облученных образцов увеличивается их фоточувствительность (рис. 2, кривая 2) и интенсивности всех других полос люминесценции, которые наблюдались в исследуемых кристаллах. Уменьшение интенсивности зеленой люминесценции при температурах отжига, более 80–100 °С, объясняется уменьшением концентрации центров этой люминесценции (поскольку

при этих температурах продолжается отжиг быстрых центров рекомбинации и увеличение фоточувствительности отжигаемых образцов) (рис. 2, кривые 1 и 2). При $t_{\text{ann}} \approx 120^\circ\text{C}$ начинается сложное преобразование спектра зеленой люминесценции, которое заканчивается при $t_{\text{ann}} \approx 200^\circ\text{C}$. На рис. 1, а представлены спектры люминесценции после отжига при $t_{\text{ann}} = 150^\circ\text{C}$ (1) и $t_{\text{ann}} = 175^\circ\text{C}$ (2). Для анализа этих спектров использован метод Аленцева–Фока [8]. Кривая 3 (рис. 1, а) представляет результат анализа спектров (1) и (2), выполненного по этому методу. Наличие горизонтальных участков на кривой 3 свидетельствует о том, что спектр люминесценции состоит из двух различных перекрывающихся полос. Выполненная по методу Аленцева–Фока разделение спектра 1 (рис. 1, а) на составляющие дало возможность выделить эти полосы люминесценции (рис. 1, в, кривые 4 и 5). Первая полоса подобна той зеленой люминесценции, которая наблюдалась в высокоомных необлученных и облученных образцах (описана в начале работы) с тем самым положением бесфононного максимума ($\lambda_m = 514$ нм), но в этой полосе (в дальнейшем именуемой длинноволновой) максимум излучения практически находится в месте первого фононного повторения $\lambda_m = 522 - 523$ нм ($h\nu_m = 2.375$ эВ) (рис. 1, в, кривая 4). Вторая полоса представляет собой кривую с максимумом излучения при $\lambda_m = 537$ нм ($h\nu_m = 2.31$ эВ) (рис. 1, в, кривая 5). Эта полоса появляется при $t_{\text{ann}} \gtrsim 120^\circ\text{C}$, достигает максимального значения при $t_{\text{ann}} \approx 150^\circ\text{C}$, а при дальнейшем увеличении температуры отжига уменьшается и исчезает при $t_{\text{ann}} = 200 - 220^\circ\text{C}$ (рис. 2, кривая 3). Таким образом, отжиг центров зеленой люминесценции, если вычесть полосу с $\lambda_m = 537$ нм, происходит по следующей схеме (рис. 2, кривая 1). С увеличением температуры отжига ($t_{\text{ann}} \gtrsim 80 - 100^\circ\text{C}$) уменьшается интенсивность зеленой люминесценции и происходит ее трансформация в длинноволновую зеленую люминесценцию, интенсивность которой выходит на насыщение при $t_{\text{ann}} = 220 - 240^\circ\text{C}$. При этом также трансформируются и спектры возбуждения люминесценции, которые представлены на вставке рис. 1, кривые 1 и 2. После отжига при $t_{\text{ann}} = 220 - 240^\circ\text{C}$, когда существует только одна длинноволновая зеленая люминесценция, максимум возбуждения лежит в примесной области $\lambda_{\text{ex}} = 494$ нм ($h\nu_{\text{ex}} = 2.51$ эВ) (рис. 1, вставка, кривая 2).

Полосы люминесценции, подобные тем, которые появлялись в наших облученных кристаллах при отжиге, наблюдались только в легированных литием монокристаллах CdS [9, 10]. Их связывали с атомами Li, которые могут играть роль как доноров, так и акцепторов и легко образуют ассоциаты с другими дефектами. Анализ используемых в работе монокристаллов CdS на ионном массспектрометре не обнаружил следов Li. Поэтому можно считать, что длинноволновая зеленая люминесценция и полоса с $\lambda_m = 537$ нм связаны с комплексами, образованными при отжиге из собственных точечных дефектов, введенных электронной радиацией. При $t_{\text{ann}} > 100^\circ\text{C}$ подвижными точечными дефектами, которые могут вступать в квазихимические реакции и образовывать комплексы между собой и другими дефектами решетки, являются Cd_i, S_i [11] и, возможно, V_{Cd}, энергия миграции которой согласно [12], равна 0.8 эВ. Вакансия серы (V_S), по оценкам авторов [11, 13], дифундирует по решетке при $t > 250 - 300^\circ\text{C}$ с энергией активации

диффузии, равной ~ 1.3 эВ. В электронно-облученных монокристаллах ZnSe методом ЭПР [11] было показано, что вакансия цинка, которая становится подвижной при $t \gtrsim 100$ °С, образует в этой температурной области комплексы с различными донорами, которые отжигаются при $t > 200$ °С. Возможно, центры люминесценции с $\lambda_m = 537$ нм, которые образуются в облученном CdS при $t_{\text{ann}} \gtrsim 120$ °С (рис. 2, кривая 3) и отжигаются при $t_{\text{ann}} > 150$ °С, так же, как и в ZnSe, связаны с комплексами, состоящими из вакансий катиона и неконтролируемых донорных примесей или дефектов. Образование и отжиг этих комплексов не влияет на характер отжига и трансформацию центров зеленой люминесценции (рис. 2, кривые 1 и 3), что может свидетельствовать о различной природе точечных дефектов, ответственных за центры зеленой люминесценции и комплексы, дающие полосу люминесценции с $\lambda_m = 537$ нм.

Анализ излучения центров длинноволновой зеленой люминесценции методом поляризационных диаграмм по методике [14] показал, что эти центры в отличие от изотропных центров зеленой люминесценции оптически анизотропны.

• Поскольку при $t_{\text{ann}} > 1000$ °С согласно сделанному ранее предположению, V_{Cd} ответственны за люминесценцию с $\lambda_m = 537$ нм, а S_i ответственны за центры зеленой люминесценции, единственными подвижными точечными дефектами, которые могут приводить к преобразованию центров зеленой люминесценции в центры длинноволновой зеленой люминесценции, являются межузельные атомы кадмия (Cd_i). Поэтому мы предполагаем, что за длинноволновую зеленую люминесценцию ответственны комплексы, образующиеся при взаимодействии обычных центров зеленой люминесценции с Cd_i .

В таком случае следует надеяться на появление центров, подобных длинноволновым центрам в низкоомных монокристаллах CdS, с повышенной концентрацией Cd_i . На рис. 3 показан типичный спектр (при 77 К) низкоомных, специально не легированных монокристаллов CdS:Cd, выращенных при повышенном давлении паров кадмия. Как известно [15], в таких образцах образуется высокая концентрация Cd_i , о чем свидетельствует наличие в наших кристаллах CdS:Cd при $T = 4.2$ К наиболее интенсивной экситонной линии люминесценции $I_2(\lambda_m = 4896)$ Å, связанной с этими атомами. Электронное облучение монокристаллов CdS:Cd с $E = 1.2$ МэВ и дозой $\Phi = 2 \cdot 10^{17}$ см⁻² показало, что интенсивность зеленой люминесценции после облучения увеличивается на 30–50 % без изменения формы спектров излучения и возбуждения люминесценции. Это свидетельствует о том, что введенные облучением центры люминесценции не отличаются от центров, существующих в необлученных образцах. Спектры зеленой люминесценции в необлученных и облученных монокристаллах CdS:Cd подобны спектрам длинноволновой зеленой люминесценции, которые возникают при отжиге облученных высокоомных образцов CdS. В обоих спектрах одинаково положение коротковолнового бесфононного максимума ($\lambda_m = 514$ нм), тождественны спектры возбуждения люминесценции и практически одинаково положение максимумов, соответствующих наибольшей интенсивности люминесценции ($\lambda_m = 522$ –523 нм для длинноволновой и $\lambda_m = 523$ –524 нм для CdS:Cd). Существуют и определенные различия в спектрах зеленого излучения этих кристаллов. Для длин-

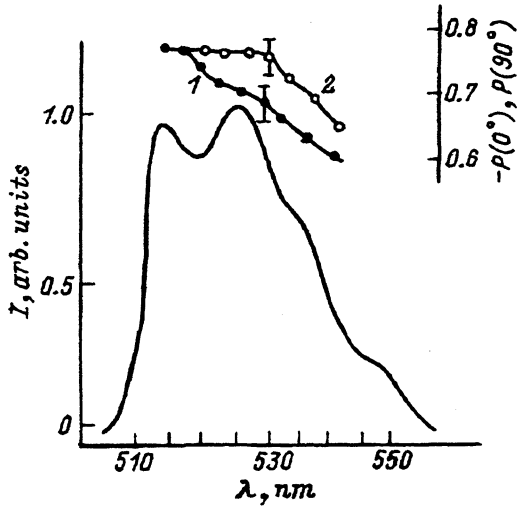


Рис. 3. Спектр люминесценции ($T = 77$ К) низкоомных монокристаллов CdS:Cd при возбуждении светом с $\lambda_{ex} = 498$ нм и спектральные зависимости максимумов поляризационной диаграммы: 1 — $P(0^\circ)$, 2 — $P(90^\circ)$.

новолновой люминесценции характерны четко выраженные максимумы фоновых повторений (рис. 1, б, кривая 4). В монокристаллах CdS:Cd в области фоновых повторений наблюдается размытый несимметричный длинноволновой «хвост» зеленой люминесценции, более размыт максимум люминесценции (рис. 3). Возможно, это связано с концентрационными эффектами. Концентрация Cd в легированных образцах намного больше концентрации этих дефектов, образованных электронным облучением в монокристаллах CdS.

На рис. 3 (см. вставку) показаны спектральные зависимости максимумов поляризационных диаграмм для спектров излучения зеленой люминесценции монокристаллов CdS:Cd. Как следует из рисунка, в спектральной области примесного поглощения $|P(0^\circ)| \neq |P(90^\circ)|$. Подобный результат был получен и для спектров возбуждения люминесценции. Это свидетельствует о том, что центры зеленой люминесценции монокристаллах CdS:Cd так же, как и центры длинноволновой люминесценции в облученных и отожженных образцах CdS, анизотропны. На основании приведенных выше результатов мы считаем, что природа центров зеленой люминесценции в монокристаллах CdS:Cd и центров длинноволновой зеленой люминесценции в облученных монокристаллах CdS одна и та же. Поскольку интенсивности полос зеленой люминесценции с $\lambda_m = 514$ нм и $\lambda_m \approx 523$ нм одинаково меняются при облучении и температурном гашении, нам не удалось с помощью метода Аленцева-Фока разделить спектр длинноволновой зеленой люминесценции на составляющие. Это означает, что за длинноволновую зеленую люминесценцию ответственен один комплекс, а не различные центры, как это имело место для подобных спектров в CdS:Li [9].

Максимум спектра возбуждения длинноволновой зеленой люминесценции лежит в примесной области. Факт существования примесных максимумов возбуждения зеленой люминесценции в монокристаллах CdS в литературе известен. Большинство авторов считают, что центром зеленой люминесценции в таких случаях является комплекс более сложный, чем ДА пары. Такими комплексами могут быть ДА пара и еще один донор D_1 или ДА пара и акцептор A_1 , которые близко раз-

мешены около одной из компонент пары [7,16]. Как уже упоминалось, моделью оптически изотропного центра зеленой люминесценции в монокристаллах CdS являются распределенные ДА пары с акцептором S_i . Донором в таких парах в нелегированных образцах могут быть V_S [$E_c - (0.03 \div 0.05) \text{эВ}$]. Присоединение к центрам зеленой люминесценции Cd_i преобразует их в центры длинноволновой люминесценции, в которых роль D₁ играют межузельные атомы кадмия. Такое присоединение понижает симметрию центра, и он становится анизотропным. Исследование поляризационных диаграмм центров длинноволновой люминесценции не позволило свести эти центры к наиболее простой модели одного диполя. По-видимому, эти центры в смысле симметрии более сложные. По этой причине мы не смогли определить ориентацию центров длинноволновой люминесценции в решетке CdS. Предложенная модель центров длинноволновой зеленой люминесценции дает возможность объяснить процесс образования этих центров при облучении монокристаллов CdS:Cd и при отжиге облученных образцов CdS. Предложенная схема такого процесса может быть следующей.

При электронном облучении монокристаллов сульфида кадмия образуются первичные радиационные дефекты, представляющие собой пары Френкеля как в подрешетке серы, так и в подрешетке кадмия. В монокристаллах CdS:Cd с большой концентрацией Cd_i происходит взаимодействие центров зеленой люминесценции (пар Френкеля в подрешетке серы, введенных облучением) с Cd_i (подвижными при температурах облучения $\sim 290 \text{ К}$) и трансформация их в центры длинноволновой люминесценции. При облучении высокоомных, специально не легированных монокристаллов CdS образующиеся центры зеленой люминесценции не трансформируются в центры длинноволновой люминесценции ввиду малой концентрации Cd_i. При отжиге таких образцов ($t_{\text{ann}} \gtrsim 80 \div 100 \text{ }^{\circ}\text{C}$) увеличивается подвижность S_i и происходит рекомбинация V_S и S_i, что ведет к уменьшению интенсивности зеленой люминесценции (рис. 2, кривая 1). В этой же области температур появляются Cd_i (вследствие распада пар Френкеля в подрешетке кадмия или иных комплексов, образованных радиацией), которые захватываются частью центров зеленой люминесценции, не успевших рекомбинировать, и преобразуют их в термостабильные центры длинноволновой люминесценции. О термостабильности этих центров свидетельствует выход на насыщение интенсивности длинноволновой зеленой люминесценции при $t_{\text{ann}} \gtrsim 220 \div 240 \text{ }^{\circ}\text{C}$ (рис. 2, кривая 1), а также неизменность интенсивности зеленой люминесценции при отжиге (до $t_{\text{ann}} \approx 150 \text{ }^{\circ}\text{C}$) монокристаллов CdS:Cd.

Таким образом, при облучении, а также при отжиге облученных монокристаллов сульфида кадмия образуются различные центры зеленой люминесценции: изотропные центры зеленой люминесценции и анизотропные центры длинноволновой зеленой люминесценции, отличающиеся как спектрами излучения, так и спектрами возбуждения люминесценции. Центры длинноволновой люминесценции образуются посредством захвата центрами зеленой люминесценции межузельных атомов кадмия.

Список литературы

- [1] А.П. Галушка, Г.Е. Давидюк, В.И. Куц, Н.С. Богданюк. ФТП, **12**, 1029 (1978).
- [2] A.P. Galushka, G.E. Davidyk, N.S. Bogdanuk. Phys. Stat. Sol. (a), **69**, 71 (1982).
- [3] Р.Е. Холстед. В кн.: *Физика и химия соединений A^{II}B^{VI}* (М., 1970) с. 319.
- [4] B.A. Kulp, R.H. Kelley. J. Appl. Phys., **31**. 1057 (1960).
- [5] М.К. Шейнкман, А.В. Любченко, Е.А. Сальков, В.Ф. Гринь. ФТП, **9**, 1507 (1975).
- [6] И.Б. Ермолович, А.В. Любченко, М.К. Шейнкман. ФТП, **2**, 1639 (1968).
- [7] Н.М. Кролевец, Н.Е. Корсунская, Т.В. Торчинская, Н.С. Халимова. ФТП, **13**, 1824 (1979).
- [8] М.В. Фок. Тр. ФИАН, **59**, 3 (1972).
- [9] В.Б. Лашкарев, А.В. Любченко, М.К. Шейнкман. *Неравновесные процессы в фотопроводниках* (Киев, 1981).
- [10] Н.Е. Корсунская, Н.М. Кролевец, И.В. Маркевич и др. ФТП, **10**, 293 (1976).
- [11] Дж. Уоткинс. В кн.: *Точечные дефекты в твердых телах* (М., 1979) с. 221.
- [12] А.М. Шмилевич, Л.Е. Стыс, Г.П. Чемеррюк, В.В. Сердюк. ФТП, **18**, 855 (1981).
- [13] D.C. Look. J. Appl. Phys., **45**, 492 (1974).
- [14] С.С. Остапенко, М.К. Танатар, М.К. Шейнкман. Опт. и спектр., **48**, 778 (1980).
- [15] И.В. Крюкова, В.А. Теплицкий, Е.П. Шульга, Б.Р. Джумаев, Н.Е. Корсунская. ФТП, **26**, 1054 (1992).
- [16] В.В. Дякин, Е.А. Сальков, В.А. Хвостов, М.К. Шейнкман. ФТП, **10**, 2288 (1976).

Редактор В.В. Чалдышев

Annealing of the green «luminescence» centers in cadmium sulphide

N.S. Bogdanuk, G.E. Daviduk, A.P. Shavarova

Volyn State University, 263009 Lutsk, the Ukraine